



ANUARIO ARQUEOLÓGICO ANDALUCÍA

2008

Consejero de Cultura

Miguel Ángel Vázquez Bermúdez

Viceconsejera de Cultura

Marta Alonso Lappí

Secretaria General de Cultura

María Cristina Saucedo Baro

Director General de Bienes Culturales y Museos

Marcelino Sánchez Ruiz

Jefa de Servicio de Investigación y Difusión del Patrimonio Histórico

Carmen Pizarro Moreno

Coordinación de la edición: **Servicio de Investigación y Difusión del Patrimonio Histórico**

© de la edición: JUNTA DE ANDALUCÍA. Consejería de Cultura

© de los textos y fotos: sus autores

Diseño y maquetación: Albantacreativos S.L.

ISSN: 2171-2474



EXCAVACIÓN EN EL PASEO VICTORIA EUGENIA Nº 13 DE ALGECIRAS (CÁDIZ). SECUENCIA GEOARQUEOLÓGICA EN LA ANTIGUA FÁBRICA DE CONSERVAS GARAVILLA

Datos básicos de la actividad arqueológica

Director/a

RODRIGO ÁLVAREZ GONZÁLEZ

Provincia

Cádiz

Municipio

Cádiz

Ubicación

Antigua fábrica de conservas Garavilla

Autoría

RODRIGO ÁLVAREZ GONZÁLEZ
JOSÉ MARÍA TOMASSETTI GUERRA
FRANCISCO LUIS TORRES ABRIL
JOSÉ SUÁREZ PADILLA

Resumen

Estudiamos los restos de un alfar romano del cambio de Era sobre la orilla derecha del paleo-estuario del arroyo Saladillo y la evolución de su medio natural circundante entre el Pleistoceno Medio y el Holoceno Reciente, con muestras de industria musteriense asociable a los depósitos más antiguos. Igualmente, correlacionamos los procesos geomorfológicos evidenciados con la interpretación geoarqueológica actual de la desembocadura del río de la Miel, exponiendo las similitudes de sus caracteres paleogeográficos especialmente para los siglos I a VI d. C.

Abstract

We study the rest of a Roman figlina of the change of Era on the right border of the paleo-estuary of the Saladillo stream and the evolution of its surrounding natural means between Pleistocene and the recent Holocene, with samples of associable mustering industry to the oldest deposits. Also, we correlated the geomorphologic processes demonstrated with the present geoarchaeological interpretation of the mouth of the río de la Miel, exposing the similarities of its paleogeographical characters especially for me to VI century's d. C.



El proyecto constructivo de Desarrollos Inmobiliarios Campotejar S. L. ha permitido acometer la actividad arqueológica preventiva que, contratada con Arquitectura, Estudios de Patrimonio Arqueotectura S. L. L., autorizó la Dirección General de Bienes Culturales el 11 de abril de 2008 y llevó a término un equipo de Arqueotectura S. L. L. entre los días 5 de mayo y 4 de julio del mismo año.

El solar ocupa la parcela catastral 0104003TF8000S0001JL, con fachada principal al Paseo Victoria Eugenia nº 13. Sobre su superficie de 17.355 m², el diagnóstico se ha centrado en un espacio de 3.796 m² donde se pretende el levantamiento de tres edificios de viviendas. Las instalaciones de la conservera se encontraban demolidas y sus cimientos removidos y retirados, circunstancia que ha condicionado la conservación del subsuelo en buena parte de la zona de trabajo, cuya rasante, en el momento de iniciar la excavación, se encontraba entre los 3'00 y los 5'00 m.s.n.m. Se ubica en una ladera en la confluencia entre el arroyo Saladillo y la primitiva línea de costa (antes de que las instalaciones portuarias ganaran terreno al mar), sobre una secuencia de terrazas fluviales y acúmulos detríticos cuaternarios que cegaron el antiguo estuario de la desembocadura del arroyo.

La intervención de campo se ha diseñado en tres fases. Comenzamos con el replanteo topográfico de 22 sondeos cuadrados de 1'5 m de lado (A a U) distribuidos en 5 columnas. Terminada su excavación manual, han sido la guía, en segunda fase, de 16 zanjas organizadas en tres baterías, de 1'5 m de misma anchura y longitudes diversas (entre 10 y 40 m), abiertas con máquina retroexcavadora (A a M, NÑO, PQR y STU).

El rebaje mecánico se ha completado con la excavación manual de tres hornos localizados durante el zanjeado en un rectángulo de 15'5 x 14 m (V1, V2 y V3), entre las mitades occidentales de las zanjas B y D, lo cual ha constituido nuestra tercera fase de trabajo de campo.

Resultados de la actividad

Hemos individualizado 85 unidades estratigráficas. El análisis de sus relaciones físicas e indicadores crono culturales, en correlación con la estratigrafía geológica, ha permitido el montaje de la secuencia de acciones y fases. La estratificación estudiada aglutina los procesos naturales y las acciones humanas dando a la secuencia un carácter geoarqueológico muy marcado, en cuatro grandes fases para cuya organización hemos utilizado el horizonte romano del alfar: antes de su instalación se reconocen grandes paquetes geológicos pleistocenos y holocenos agrupados en la Fase 0; la Fase I es la propia *figlina*; la Fase II se corresponde con sedimentos que colmatan la vega fluvial a techo del alfar; la Fase III está constituida por diversos rellenos y afecciones sobre lo subyacente en época contemporánea.

A	B	C	D	E	F	G	H	I	J	K	L	M	N	ÑO	P	Q	R	S	T	U	FASE
1	1	1	1	1	1	1	1	1	1	1	1				1			1			1
4	2	2	2	2					2	2		1	1	1	2	1	1	2	1	1	2
2																					
3	3	3	3								2				3		2	3			
5	4	4*	4	3							3*				4		3				
			5								4*						4				
5																					
			4																		
			5												5						
			6																		
6		6				2															
						3	2	2													

TABLA 1. Correspondencia entre unidades estratigráficas de los sondeos. Sombreadas las que han proporcionado material cerámico; asteriscos en las que se ha muestreado industria lítica.

Fase 0. Cuaternario Fluvial

Subfase 0a. Pleistoceno. En la base de la secuencia conocida se encuentran diversos paquetes de arenas y conglomerados mediopleistocenos equivalentes al nivel de terraza media o T2 definida para el río Palmones (Castañeda, coord. 2008). Es en conjunto el Estrato Geológico I (Tabla 2), detectado en las zanjas E, G, H e I.

Los niveles conglomeráticos pleistocenos proporcionaron cantos rodados que terminan redepositados en los sedimentos fluviales holocenos (Fase II), siendo estos las bases naturales sobre las que se fabricó el conjunto lítico tallado recuperado en la superficie de la parcela y en las unidades estratigráficas C4, M3 y M4. Su estudio morfológico los atribuye al Modo 3, musterriense, o a la transición 2-3 (achelense-musterriense), entre el OIS5 y el OIS3 (c. 120.000-50.000 años BP) atendiendo a las cronologías propuestas para las cuevas gibraltareñas. Interpretamos que las piezas de superficie fueron removidas en época contemporánea desde los niveles fluviales holocenos donde se encontraban también en posición secundaria, movidas desde sus contextos originales.

UBICACIÓN	DESCRIPCIÓN	GÉNESIS	CRONOLOGÍA GEOLOGICA	CRONOLOGÍA HISTÓRICA		
ZF	X. limos arenosos grises	zonas encharcadas	TERRAZA INFERIOR HOLOCENA	TARDOANTIGUO circa ss. IV-VI d. C. (con afecciones postdeposicionales contemporáneas)		
ZB	IX. conglomerados en forma de lentejones	depósitos en el cauce principal en momentos de avenidas				
ZA, ZB, ZC, ZD, ZE, ZM, ZÑ, ZPQR	VIII. arenas verdoso-negruczas masivas de grano medio con cantos dispersos	el color negro (materia orgánica), aumentando de muro a techo, y la falta de estructura interna se explicarían por el continuado uso del arado y el abonado en zonas de huertas, a las que se dedicarían hasta época moderna, los terrenos de vega no inundados				
ZPQR, ZSTU	XI. arenas verdosas de grano medio	origen litoral, probablemente eólico, depósito cercano a la flecha litoral que, a modo de barrera, cerró el pequeño estuario			a partir del descenso eustático post-flandriense 2350/800 BP	TARDORROMANO-TARDOANTIGUO tal vez ss. I-IV d. C.
ZB, ZD, ZE, ZF, ZH, ZI, ZM, ZPQR	VII. limos arenosos grises, con bioturbación, con unos niveles más arcillosos y otros más arenosos en forma de finas pasadas	zonas encharcadas, temporales o permanentes (cauce principal, inundado en épocas de estiaje); pasadas arenosas originadas por aportes eólicos			TERRAZA SUPERIOR HOLOCENA	ROMANO IMPERIAL hasta c. 1/2 s. I d. C.
ZB, ZE, ZF, ZH, ZI	VI. arenas gruesas marrones con laminación cruzada por ripples y muro erosivo, con bioturbación	cambio lateral de facies de V, representando las facies más energéticas de la llanura de desbordamiento				
ZB, ZC, ZE	V. arenas masivas amarillas de grano medio	igual a IV, formando pequeña terraza apoyada sobre el escarpe erosivo de la terraza pleistocena				
ZB, ZE, ZH, ZI	IV. arenas de grano medio y colores abigarrados amarillos, marrones y grises	depósitos fluviales de llanura de inundación, por desbordamientos de canal				
ZC, ZE, ZG	III. conglomerados de cantos redondeados y matriz de arenas limosas	facies de canal principal; erosión y redepósito de los materiales de la terraza pleistocena	desconocido			
ZB, ZC, ZE, ZH, ZI	II. arenas marrones de grano medio con laminaciones cruzadas	desbordamiento del canal principal				
discordancia						
ZE, ZG, ZH, ZI	I. arenas marrones laminadas o masivas y niveles conglomeráticos	terracea fluvial (T2 o terracea media del Palmones)	PLEISTOCENO MEDIO s. I.	(OIS 3-5)		

TABLA 2. Síntesis de la columna geológica en la parcela.

Subfase 0b. Terraza Superior Holocena. En contacto discordante sobre la terraza pleistocena se han identificado seis litologías distintas, básicamente arenas, a veces con limos o cantos, producto de la dinámica fluvial del arroyo Saladillo. Las arenas masivas amarillas (Estrato Geológico V), conjuntamente con otras de colores abigarrados (Estrato Geológico IV: depósitos de llanura de inundación por desbordamientos de canal), formaron una pequeña terraza apoyada sobre el escarpe erosivo pleistoceno donde se excavará el terreno para instalar los hornos.

Todos los sedimentos estudiados (excepto las arenas de la barra) son de origen fluvial y, por tanto, continentales. Sintetizando la información para su mejor comprensión, recordamos que en la última glaciación (OIS2), una gran bajada del nivel marino originó la excavación por el paleo-Saladillo de un valle sobre los sedimentos fluviales pleistocenos, valle que, al inundarse en la posterior subida del nivel del mar, conformarían una paleoensenada. A su vez, el encajamiento de la red fluvial durante el último glacial produjo una serie de capturas por parte de afluentes de la margen derecha del paleo-río de la Miel sobre cauces que pertenecían a la cuenca del paleo-Saladillo. Debido a esto, tras la subida del nivel del mar del actual interglacial, la

cuenca del paleo-Saladillo quedaría tan reducida que no acumularía los caudales suficientes para, en épocas de avenidas, romper la barra arenosa que, por dinámica litoral, empezaría a formarse en su desembocadura a partir del máximo Flandriense, lo que provocó la rápida colmatación de la paleoensenada. Para época tardorromana ya era un medio mayoritariamente continental, sin apenas influencia marina constatable en nuestra zona de estudio. Al contrario, el estuario del río de la Miel no se colmató totalmente hasta fechas muy posteriores, debido a su mayor cuenca y, por tanto, a su mayor capacidad de romper la barra arenosa en épocas de avenidas.

B	C	D	E	M	O	Q	DESCRIPCIÓN	MATERIAL CERÁMICO	CRONOLOGÍA
3	3	3		2	3	2	arena arcillosa negruzca	cerámica común y ánforas, no datante, residual	(desde tardoantiguo indeterminado)
4	4	4	3	3	4	3	arena arcillosa verdosa	fragmentos de ánfora, material de construcción fragmento jarra o ánfora con decoración incisa fragmento de fondo de ARSW-D estampillada ARSW-D Hayes 61, 67 y posibles 59/67 y 104 borde de plato/tapadera de cerámica de cocina africana fragmento de mortero Fullford 22	TARDOANTIGUO: f. s. IV-1/2 s. VI
			5	4		4	arena arcillosa beige	Dressel 10 (residual) borde de TSA-D Hayes 104A posible TSA-D Atlante 46.1	TARDOANTIGUO: circa f. s. V- s. VI
5							vertido de alfar	fragmentos de ánforas no identificables	ROMANO IMPERIAL (ante circa -10/80)
			4				arena arcillosa beige-marrón	ánforas Beltrán IIB y posible Venta del Carmen I	ROMANO IMPERIAL (ante circa -10/80)
			6				limos grises	escasos fragmentos de cerámica común, no datante	indeterminado

TABLA 3. Cronología de los estratos con cerámicas en los sondeos previos.

Fase I. Figlina Romana

La cronología de E4 (Estrato Geológico V) depende de su escaso contenido en materiales cerámicos: un ánfora Beltrán IIB (inicios de época flavia) y posiblemente una Venta del Carmen I (inmediatamente anterior al cambio de Era). Por tanto, queda ubicado en la primera mitad del siglo I d. C. (más concretamente entre los años -10 y 80, como *terminus ante quem*). Al estar la secuencia decapitada por nivelaciones contemporáneas de la Fase III, desconocemos si la excavación de las cámaras de fuego y *praefurnia* cortó a otros estratos de formación más reciente, aunque la cronología que se propone para el alfar prácticamente coincide con la de E4.

En términos generales, esta fase se compone, en primer lugar, de la construcción de los tres hornos hallados (V1, V2 y V3), excavados en los estratos de la fase precedente; y, en segundo lugar, de los niveles de colmatación interior de las estructuras tras su abandono. V2, además, será reutilizado parcialmente como calera una vez abandonado. El desmonte contemporáneo del terreno y otras afecciones más recientes afectaron mucho a sus ruinas: sólo ha pervivido la planta casi completa de V2 y en ningún caso se han conservado más de 70 cm de potencia, en el interior de las cámaras destinadas a la carga y quema del combustible.

Horno VI. Localizado en la zanja C, se conservan apenas 0'30 m² de su superficie con potencia máxima de 0'70 m. Se encontraba casi destruido por una zanja de c. 4'50 m de anchura (UE-V202=A4), la misma que afecta marginalmente al horno V2. Conserva un arco de circunferencia de su pared interior (UE-V100 en conjunto), de arcilla quemada, que se extiende por su fondo y apoya directamente sobre la interfaces de su excavación en el subsuelo.

Horno V2. Del mismo modo, cortando a V210, se instala también este segundo horno, evidenciado el corte del terreno por las interfaces V200 (que alojará la cámara de combustión) y V212 (donde se encaja el *praefurnium*). El horno V2 evidencia el modelo usado en esta *figlina* (suponemos que los tres son iguales). Su cámara posee planta circular de c. 3'40 m de diámetro; a ella se accede por un prefurnio de 2'40 por 1'90 m y orientación NE-SW de planta irregular (pues sobre él se habilita la calera V204, como ocurrió también en el horno del sector C de Venta del Carmen, en Los Barrios: Bernal, ed. 1998: 84-86). No hay evidencias de la columna central que, en la cámara de fuego, debía sustentar la parrilla de separación entre esta y la de cocción, aunque consideramos que, por sus dimensiones, debió poseerla y perderse posteriormente por causas desconocidas (modelo IA de Cuomo 1971-1972, el más habitual en las *figlinas* béticas y, específicamente, en las gaditanas: Lagóstena y Bernal 2004: 39-123). La cámara recubre interiormente su fosa cilíndrica, creando paredes (V200) con grosor de c. 0'10-0'15 m (como en V1) y con evidentes muestras de rubefacción.

La colmatación interna de la cámara se inicia con las UEs V207 (arcilla rojiza muy compacta sin inclusiones); V213 (arena marrón rojiza con manchas blancas, verdes, rojas y restos de rubefacción); y V214 (arena roja compacta con manchas blanquecinas), sobre las que se deposita V206 (arena rojiza semi-compacta con frecuentes inclusiones cerámicas) que, a su vez, recibe a V201 (arena marrón parduzca con manchas rojas e inclusiones cerámicas). Por su parte, el hueco del prefurnio (V212) se encuentra relleno por la V205 (arena arcillosa marrón verdosa con manchas rojas e inclusiones moderadas de fragmentos cerámicos equivalentes en su conjunto a los encontrados en V206).

Para su fechación, atendemos a las cerámicas contenidas en V201 y V206, donde, por un lado, encontramos ánforas: en V201, un fragmento de Dressel 1A (siglo I a. C.) y varios de Gauloise 4 (a partir de época flavia; López y Martín 2008: 711); en V206, junto a otro borde de Gauloise 4 se documenta un fragmento de *Haltern 70*, éstas producidas en la bahía de Algeciras entre el 10 a. C. y el 10 d. C. (alfares de Villa Victoria; García y Bernal 2008: 668). La cerámica común está bien representada en el estrato V206: fragmentos de cuencos hemisféricos con paralelos en Lacipo (tipo 53; Puertas 1982: 251) y cronología del siglo I d. C.; jarro de cuello corto trilobulado, con paralelos en el Castillón (Málaga) en contextos de entre la segunda mitad del siglo I d. C. y la primera mitad del

II (Serrano 2000: 240); y jarras semejantes a otras de los alfares de Cartuja, de cronología genérica imperial (Serrano 2000: 241): el grupo mejor representado es el de las ollas-orzas con cuerpo de tendencia globular, sin cuello, con borde entrante, moldurado y labio caído o plano, documentadas en la bahía de Algeciras en la primera mitad del siglo I d. C. (Bernal y Lorenzo 2002: 225), en Lacipo (tipo 10; Puertas, 1982: 224) y en los alfares de Torrox (tipo 2.1 de Beltrán; Serrano 2000: 58), donde se fechan genéricamente en el siglo I d. C.

En la vajilla de mesa destaca un conjunto de piezas de “barniz rojo de tradición Hispana” (BRTH; ver Bustamante y Huguet 2008: 304), con imitaciones de tipos itálicos. Son piezas con cubiertas de fino engobe brillante al interior y mate al exterior, con colores desde el negro al marrón parduzco, de pasta beige, siena o rosácea muy depurada sin desgasante visible. Corresponden al grupo D de estas producciones (Bustamante y Huguet 2008: 298). Los ejemplares de V201 corresponden a los tipos *Conspectus* 12, 33 y un posible 20.1. Los de V206 son formas lisas *Conspectus* 33, un fondo de posible *Conspectus* 7 y un trozo de garbo de un cuenco con motivos estampillados, tal vez *Conspectus* R-4.1, fechado en tiempos de Tiberio (Ettlinger y otros 2002: 110). En general, son ejemplares producidos en torno al cambio de Era y al periodo flavio. Recientemente se ha propuesto la existencia de un centro productor de estas imitaciones en las inmediaciones de la bahía de Cádiz (Bustamante y Huguet, 2008: 298).

Por último, entre la vajilla de importación, se documentan varios fragmentos de *sigillatas* en V201: fragmento del cuerpo de una copa de TSI, *Conspectus* 22; y, en V206: borde de TSI *Conspectus* 17.2 y tres de copas de TSG Dragendorff 24/25 y 27, que refuerzan una cronología de mediados del siglo I d. C. como fecha tope para la formación del depósito. Contiene también V206 un reducido repertorio de fragmentos de “paredes finas”, previsibles producciones béticas del tipo Mayet XXVII o XXXVIII, con decoraciones correspondientes a los estilos VII-1 y VII-11, datables a partir de Claudio (41-54 d. C.) y hasta la segunda mitad del siglo I d. C.

En resumen, la cotejación de todas las inferencias de orden cronológico nos lleva a proponer una datación para la *figlina* entre los últimos años del siglo I a. C. y los centrales del I d. C. Es de suponer que los estratos descritos se depositaran una vez que el horno ya no estaba en funcionamiento (aunque tal vez durante su actividad), de manera que la cronología propuesta debe considerarse como *terminus ante quem* para una correcta valoración del período de uso de las estructuras.

En relación espacial con el horno se ha excavado V209, una estructura con forma de zanja orientada NE-SW (con longitud conocida de 2'70 m; anchura media c. 0'60 m) excavada en las arenas de base y sin elementos interiores de fábrica, aunque poseía cubierta de lajas de la que se conservaron un par de elementos. Su relleno interior (V211), arena marrón con algunas

pedras, ha aportado muy escasos restos cerámicos. V209 inicia su recorrido junto a la boca del prehornio, a c. 1 m de distancia, por lo que debe relacionarse funcionalmente con él, aunque desconocemos su uso concreto.

	años a. C.		años d. C.									
	-20	-10	10	20	30	40	50	60	70	80	90	100
UE-V201												
Dressel 1A												
Gauloise 4												
BRTH Conspectus 12												
BRTH Conspectus 20.1												
BRTH Conspectus 33												
TSI Conspectus 22												
Cazuela borde plano												
UE-V206												
Gauloise 4												
Haltern 70?												
BRTH Conspectus 7												
BRTH Conspectus 33												
BRTH Conspectus R-4.1												
TSI Conspectus 17.2												
TSG Dragendorff 24/25												
TSG Dragendorff 27												
Mayet XXVII ó XXXVIII												
Cuencos hemisféricos												
Jarro trilobulado												
Olla/orza de borde plano												
UE-V211												
Haltern 70?												
Dressel 20A?												
Cont. borde vuelto												
CRONOLOGÍA V2												
UE-V204 (CALERA)												
(TSG indeterminada)												

TABLA 4. Síntesis de elementos datantes del repertorio cerámico en el horno V2.

Cuando el horno V2 ha dejado de funcionar, y seguramente después de desmontar la estructura que componía el *praefurnium*, su espacio es reutilizado como calera: UE-V204. Tal como ha sido encontrada consiste en una fosa irregular de c. 3'60 por 1'90 m rellena por un aglomerado de piedras calizas -y algunas areniscas- calcinadas superficialmente en una matriz compacta de arcilla verde con manchas rojizas. La caliza es una roca alóctona en este entorno; su presencia, por tanto, obedece sin duda a un aporte intencional desde, como mínimo, la cantera de Los Pastores, distante c. 2 km. La datación aportada por los pocos fragmentos cerámicos recuperados resta bastante imprecisa, con algunos fragmentos de Terra sigillata gálica de formas no reconocibles.

Horno V3. Unos 9 metros al oeste de V2 se ubica este tercer horno, de similares características constructivas, seccionado en su mitad oriental por una correa de hormigón de la fábrica de conservas (UE-V303) y al sur por labores de explanación del terreno en el siglo XX (UE-V304). Lo conservado alcanza unos 3 m² de la cámara de combustión (UE-V300), excavada también sobre las arenas masivas de E4 (aquí UE-V305). Sus paredes también fueron revestidas de arcilla, enrojecida por el calor. La colmatación interior (UE-V301) es arena marrón parduzca muy compacta con manchas rojas, incluyendo restos de pared rubefactada, con pocos hallazgos cerámicos coincidentes *grossomodo* con los de V2, lo cual permite afirmar su contemporaneidad.

Vertedero. La UE-B5 es un nivel muy carbonoso en matriz arcillosa rojiza con restos antracológicos y fragmentos de cerámica. Su lectura en los perfiles de la zanja B muestra cómo se adapta a una topografía en cuesta entre las cotas 4'60 y 3'04 m.s.n.m. a lo largo de 12'48 m y con potencia media de 20 cm. Pensamos que forma parte de los extremos de la zona de vertidos del alfar, con exiguo contenido artefactual y nada significativo desde el punto de vista cronológico (abundan los fragmentos de galbos de ánforas). La mayor parte de los desechos procedentes de las cocciones se perderían cuando se explanó el terreno para la instalación de la fábrica de conservas. Su posición estratigráfica entre B4 y B6 indica su deposición sobre un paquete de cantos holoceno y su amortización en época tardoantigua.

Fase II. Terraza Inferior Holocena: colmataciones tardoantiguas.

El techo de la secuencia antes de la discordancia que representan las acciones destructivas contemporáneas es un potente paquete de acúmulos arenosos que, en la columna geológica, queda identificado básicamente con el Estrato VIII. Son arenas masivas con cantos dispersos, verdosas a muro y negruzcas a techo por efecto de la acumulación de materia orgánica, lo cual, unido a su falta de estructura interna, se relaciona con el aprovechamiento de estos espacios como huertas. La mejor evidencia de este uso agrícola nos la proporciona el plano del Servicio Geográfico del Ejército numerado como AG-T9-C2-841, de 1857, donde, entre el camino que dio origen al actual Paseo de Victoria Eugenia, el trazado del arroyo y la playa, se indica la presencia de siete parcelas ocupando el espacio que hemos diagnosticado. Durante la excavación los identificamos como dos niveles distintos: arenas verdosas en la base, sobre la "terrazza superior holocena" (unidades A5, B4, C4, D4, E3, E4, M2, M3, M4, O4, Q3 y Q4), y arenas negruzcas a techo (unidades A3, B3, C3, D3, M2, O3, Q2 y R3).

Antes de seguir con la explicación de esta fase, referimos que existe un estrato (el XI de la columna geológica) localizado en las zanjas PQR y STU caracterizado por ser arenas de grano medio, de ambiente litoral y probablemente eólico, que interpretamos como la flecha litoral que cerraría la parte más distal del paleo-estuario del Saladillo, diferente, por tanto, del resto de estratos holocenos de la "terrazza inferior" y fuera de su ordenación general, ya que no guarda relación física con los demás estratos ni proporcionó materiales arqueológicos datables. El sondeo II de la factoría salazonera de c/ San Nicolás nº 3-5, en *Iulia Traducta* (Jiménez-Camino y Tomassetti 2000), mostraba un espeso paquete de arenas (UE-10) interpretado como duna de lenta formación entre los siglos III y IV d. C. Por otra parte, en el solar de La Marina (estuario del río de la Miel, Bravo 2006) muestran una estratificación donde, sobre arcillas limosas de ambiente lacustre del cambio de Era, se depositan arenas eólicas a lo largo de los siglos I-III d. C., que alojarán a finales del siglo III una necrópolis con pervivencia hasta

mediados del siglo V d. C. (posteriormente se constata “ocupación residual” entre mediados del siglo V y el VI antes de las fases medievales). Con todo ello podemos considerar que nuestro Estrato Geológico XI responde a un depósito dunar relacionado con la dinámica litoral de la cercana bahía (y probablemente con un origen relacionado con el de la barra arenosa descrita para La Marina), datable, con la máxima prudencia, en el periodo cronológico que iría desde el abandono de los hornos (mediados del siglo I d. C.) hasta la fecha mínima posible para el estrato VIII (finales del siglo IV d. C.).

Retomando el orden de exposición de la fase, la datación del muro del paquete arenoso M4=Q4 se basa en la aparición de ARSW-D (Hayes 104A y posible Atlante 46.1), de cronología general más reciente que la de los materiales presentes justo por encima (B4=C4=D4=M2=M3=O4). Estos últimos incluyen ejemplares de producciones africanas de mesa (Hayes 61, 67, 59/67, 103A y 104), de entre finales del siglo IV d. C. y mediados del VI como mínimo, mientras que el primer grupo se fecha entre finales del siglo V y el VI d. C. No consideramos realmente significativa esta aparente inversión cronológica ya que los materiales proceden de muestreos aleatorios y porque la misma génesis del estrato VIII, de carácter erosivo, con aportes de los terrenos colindantes más elevados y del cauce del arroyo, necesariamente habrá producido la mezcla de inclusiones diversas sin orden preciso.

unidades arqueológicas	estratos geológicos	cronología histórica
M2, O3	estrato VIII a techo	indeterminada
B4, C4, D4, M2, M3, O4	estrato VIII a muro	circa f. s. IV-s VI d. C.
M4, Q4		circa f. s. V-s. VI d. C.

TABLA 5. Síntesis estratigráfica de la Fase II: unidades con cerámicas.

Por último, el techo del estrato, representado por las cerámicas presentes en M2 y O3, incluye elementos inespecíficos atribuibles en general a los siglos de la Tardoantigüedad pero que no permiten mayores precisiones. La presencia puntual de intrusiones contemporáneas (alguna porcelana, por ejemplo) demuestra que las remociones del laboreo agrícola implicaron alteraciones postdeposicionales intensas.

Fase III. Contemporánea

De manera discordante sobre las últimas unidades estratigráficas atribuidas a las Fases 0, I o II, según los casos, se producen una serie de acciones muy erosivas que decapitan la secuencia previa y, supuestamente, eliminan todos los depósitos que quizá se sedimentaron desde el inicio de la alta Edad Media, con rellenos de nivelación, cimentaciones, zanjas, etc.

Bibliografía

- AAYALA LOZANO, S. Y OTROS (2008). *Actividad Arqueológica Preventiva en el solar ubicado en c/ Duque de Almodóvar c/v Segismundo Moret, Algeciras (Cádiz). Memoria Definitiva*. Inédito.
- BERNAL CASASOLA, D. (ed.) (1998). *Excavaciones arqueológicas en el alfar romano de la Venta del Carmen. Los Barrios (Cádiz). Una aproximación a la producción de ánforas en la Bahía de Algeciras en época altoimperial*. UAM Ediciones y Ayuntamiento de Los Barrios.
- BERNAL CASASOLA, D., LORENZO MARTÍNEZ, L. (2002). *Excavaciones arqueológicas en la villa romana de Puente Grande*. Cádiz.
- BONET ROSADO, H. Y OTROS (2005). “La ocupación mauritana”, en ARANEGUI GASCÓ, C. (ed.). *Lixus-2. Ladera Sur: Saguntum. Extra 6*. Pp. 87-134. Valencia.
- BRAVO JIMÉNEZ, S. (2004-2005). “La ceca de *Iulia Traducta* y la implantación de la política de Octavio Augusto en el Campo de Gibraltar”. *Caetaria*, 4-5: 83-96.
- BRAVO JIMÉNEZ, S. (2006). *Informe de los trabajos efectuados en relación a la Actividad Arqueológica Preventiva en Avda. de la Marina esquina Teniente Riera y Segismundo Moret de Algeciras (Cádiz)*. Inédito.
- BUSTAMANTE ÁLVAREZ, M., HUGUET ENGUITA, E., (2008). “Las cerámicas ‘Tipo Peñaflor’”, en BERNAL, D. Y RIERA, A. (eds.). *Cerámicas hispanorromanas. Un estado de la cuestión*. XXVI Congreso Internacional de la Asociación *Rei Cretariae Romanae Fautores*. Cádiz, pp. 297-306.
- CASTAÑEDA FERNÁNDEZ, V., coordinador (2008). *Las primeras ocupaciones humanas de los Barrios (Cádiz). El ejemplo proporcionado por el río Palmones*. Servicio de Publicaciones de la UCA y Ayuntamiento de Los Barrios. Cádiz.
- CUOMO DI CAPRIO, N. (1971-1972). “Proposta di classificazione delle fornaci per ceramica e laterizi nell’area italiana dalla preistoria a tutta l’epoca romana”. *Sibrium*, XI. pp. 371-464.
- ETTLINGER, E., HEDINGER, B., HOFFMAN, B., ROTH-RUBI, K. KENRICK, P. M., PUCCI, G., SCHNEIDER, G., SCHNURBEIN, S. VON, WELLS, C. M., ZABEHLICKY SCHFFENEGGER, S. (2002). *Conspectus formarum terrae sigillatae italico modo confectae*. Bonn: Deutsches Archäologisches Institut. Römisch-Germanische Kommission.
- FERNÁNDEZ GARCÍA, M. I., ROCA ROUMENS, M. (2008). “Producciones de *Terra Sigillata* Hispánica”. En D. Bernal y A. Ribera (eds.). *Cerámicas hispanorromanas. Un estado de la cuestión*. XXVI Congreso Internacional de la Asociación *Rei Cretariae Romanae Fautores*. Cádiz, pp. 307-332.
- GARCÍA VARGAS, E., BERNAL CASASOLA, D. (2008). “Ánforas de la Bética”, en BERNAL, D. Y RIERA, A. (eds.). *Cerámicas hispanorromanas. Un estado de la cuestión*. Pp. 661-688. Cádiz.
- GUERRERO, I. Y OTROS (2007). *Memoria definitiva de la intervención arqueológica preventiva en la c/ Alexander Henderson-San Quintín (Algeciras, Cádiz)*. Inédito.



- IGLESIAS GARCÍA, L. (2006). *Informe preliminar de la Actividad Arqueológica Preventiva, excavación arqueológica extensiva en la c/ Teniente Riera nº 6, Algeciras (Cádiz)*. Inédito.
- JIMÉNEZ-CAMINO ÁLVAREZ, R., BERNAL CASASOLA, D. (2007). “Redescubriendo a *Traducta*. Reflexiones sobre su topografía urbana y su secuencia ocupacional (ss. I-VII)”. *Anales de Arqueología Cordobesa*, 18: 157-200.
- JIMÉNEZ-CAMINO ÁLVAREZ, R., TOMASSETTI GUERRA, J. M. (2000). *Informe preliminar de la intervención arqueológica de urgencia en el solar nº 3-5 de la Calle San Nicolás en la Villa Vieja de Algeciras (Cádiz)*. *Diagnóstico Previo*. Inédito.
- JIMÉNEZ-CAMINO ÁLVAREZ, R., TOMASSETTI GUERRA, J. M. (2006). “Allende el río... Sobre la ubicación de las villas de Algeciras en la Edad Media: una revisión crítica”. *Almoraima*, 33: 183-210.
- LAGÓSTENA BARRIOS, L., BERNAL CASASOLA, D. (2004). “Alfares y producciones cerámicas en la provincia de Cádiz. Balance y perspectivas”. BAR International Series 1266. *Figlinae Baeticae. Talleres alfareros y producciones cerámicas en la Bética romana (ss. II a. C. - VII d. C.)*, Volumen 1: 39-124.
- LARIO GÓMEZ, J. (1996). *Último y presente interglacial en el área de conexión Atlántico-Mediterráneo (Sur de España). Variaciones del nivel del mar, paleoclimáticas y paleoambientales*. Tesis doctoral. Universidad Complutense de Madrid.
- LÓPEZ MULLOR, A., MARTÍN MENÉNDEZ, A., (2008). “Las ánforas de la Tarraconense”, en BERNAL, D. Y RIERA, A. (eds.). *Cerámicas hispanorromanas. Un estado de la cuestión*. Pp. 689-724. Cádiz.
- OJEDA ZÚJAR, J. (1989). “La dinámica litoral reciente de la costa occidental de Andalucía”. *El Cuaternario en Andalucía Occidental*. AEQUA Monografías, 1: 123-132. Sevilla.
- PUERTAS TRICAS, R. (1982). *Excavaciones arqueológicas en Lacipo*. Madrid.
- RAMÓN TORRES, J. (2008). “La cerámica ebusitana en la Antigüedad Tardía”, en BERNAL, D. Y RIERA, A. (eds.). *Cerámicas hispanorromanas. Un estado de la cuestión*. Pp. 563-584. Cádiz.
- SUÁREZ PADILLA, J., TOMASSETTI GUERRA, J. M. (2009). *Actividad Arqueológica Puntual de apoyo a la restauración en las murallas medievales de la prolongación de la Avenida Blas Infante de Algeciras (Cádiz)*. *Memoria Definitiva*. Inédito.
- TOMASSETTI GUERRA, J. M., BRAVO JIMÉNEZ, S. (2006). “Novedades sobre establecimientos alfareros romanos en el arco norte de la bahía de Algeciras (Cádiz)”. *Almoraima*, 33: 251-264.
- TOMASSETTI GUERRA, J. M. Y OTROS (2006). “El cementerio islámico del Fuerte de Santiago (Algeciras, Cádiz). Nuevas excavaciones y síntesis interpretativa”. *Almoraima*, 33: 147-170.

Índice de imágenes

Entorno histórico-arqueológico. Fisiografía, hidrografía, camino y murallas según AGS MPD X-94 (1726); topografía según Jürgens (1926). Círculos: hallazgos casuales; solares con relleno sólido: excavaciones; solares con relleno de trama: controles de movimiento de tierras; triángulo: hallazgo casual de pieza lítica; línea gruesa discontinua: perímetro de protección arqueológica del PGM. Parcelario catastral y base informativa: Carta Arqueológica Municipal de Algeciras (Jiménez-Camino y Tomassetti, inédito)

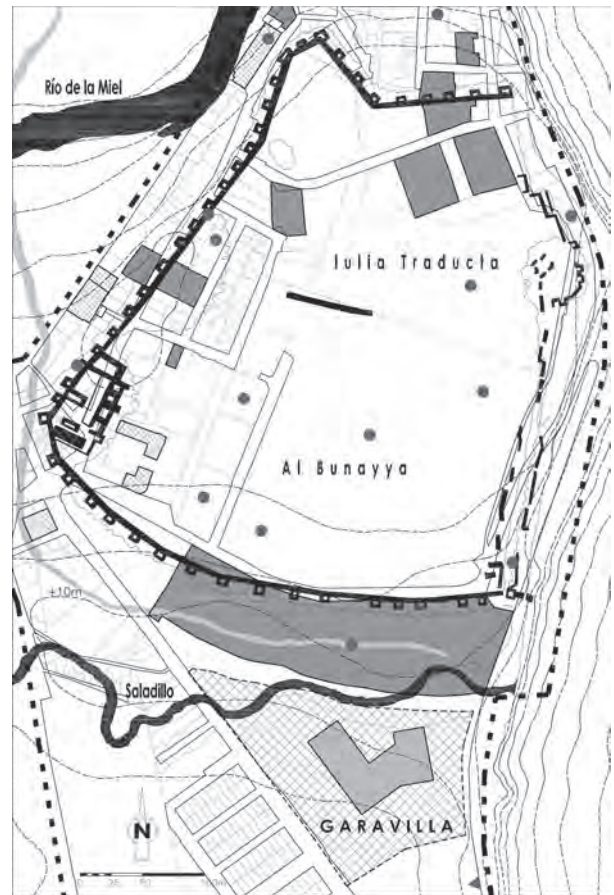
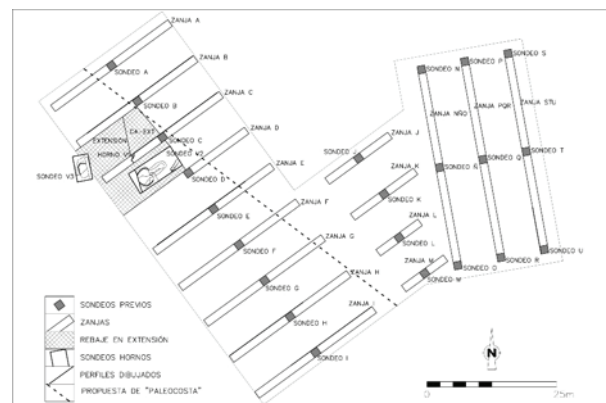


FIGURA 2. Planta general de ubicación de sondeos, zanjas, hornos y excavación en extensión, con propuesta de línea de "paleocosta".



Índice de imágenes

FIGURA 3. Planta general de la *figlina*.

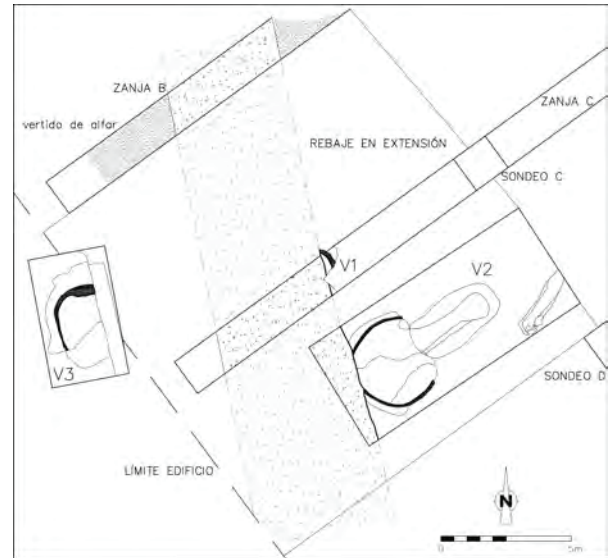


FIGURA 4. Perfiles septentrionales de las zanjas B, C, E, H e I.

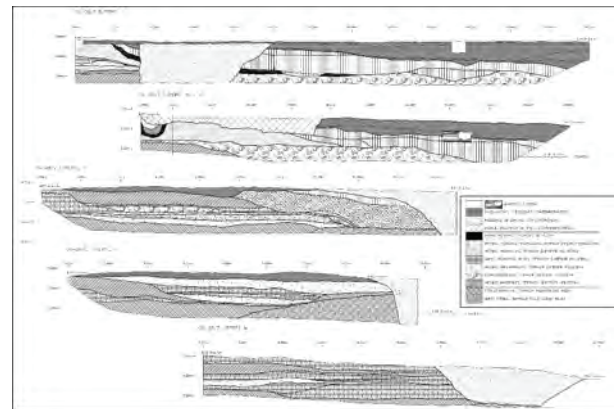
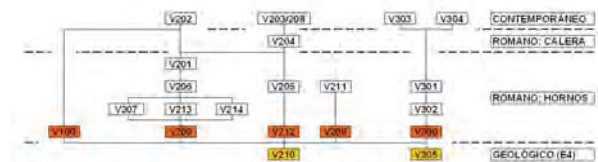


FIGURA 5. Diagrama estratigráfico de la *figlina*.



Índice de imágenes

FIGURA 6. Planta sintética de los hornos y planos acotados de unidades estratigráficas.

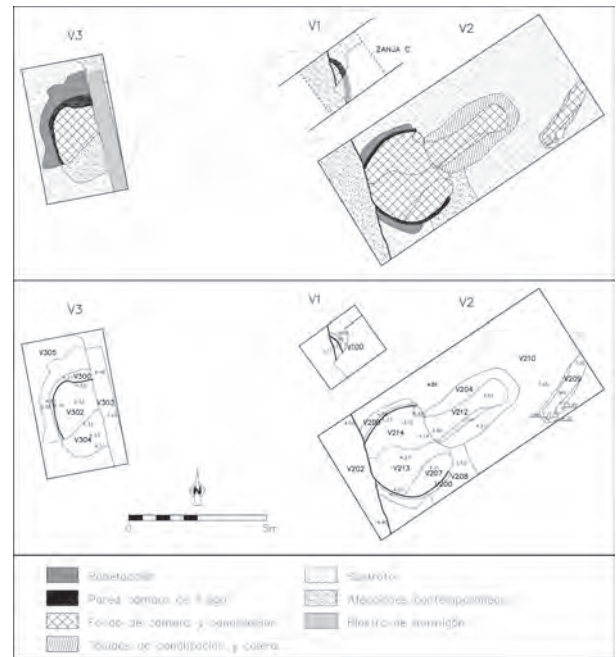
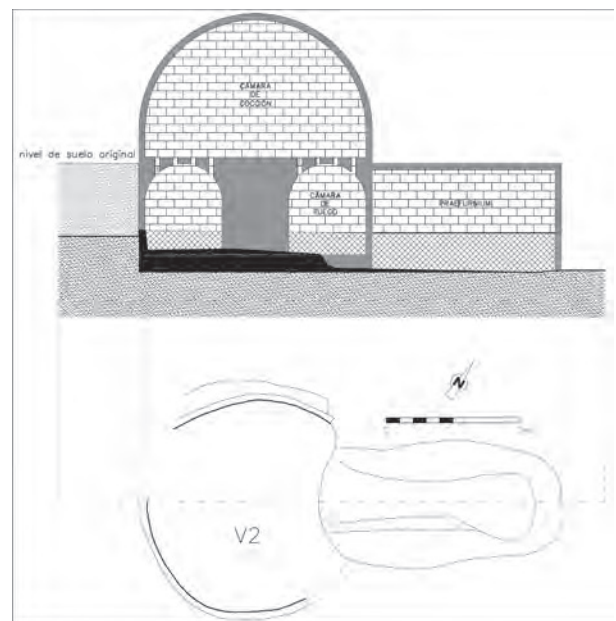


FIGURA 7. Restitución teórica de la sección del horno V2.



Índice de imágenes

FIGURA 8. Cerámicas de V201.

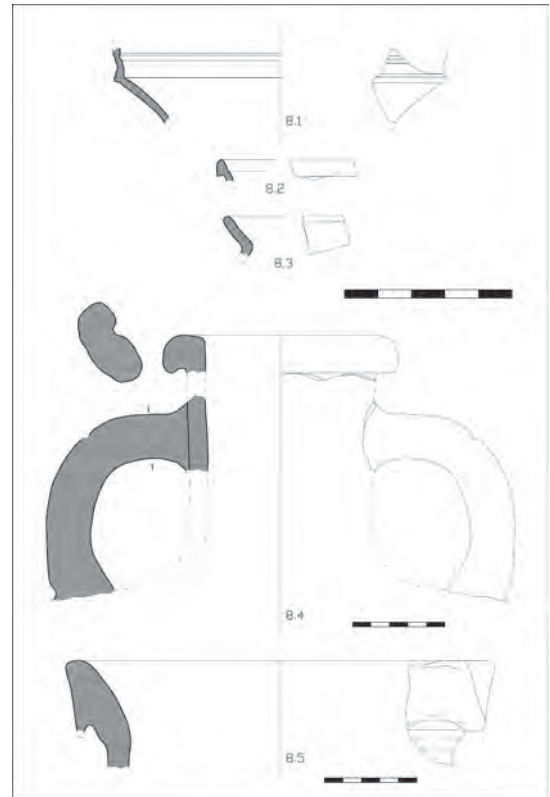
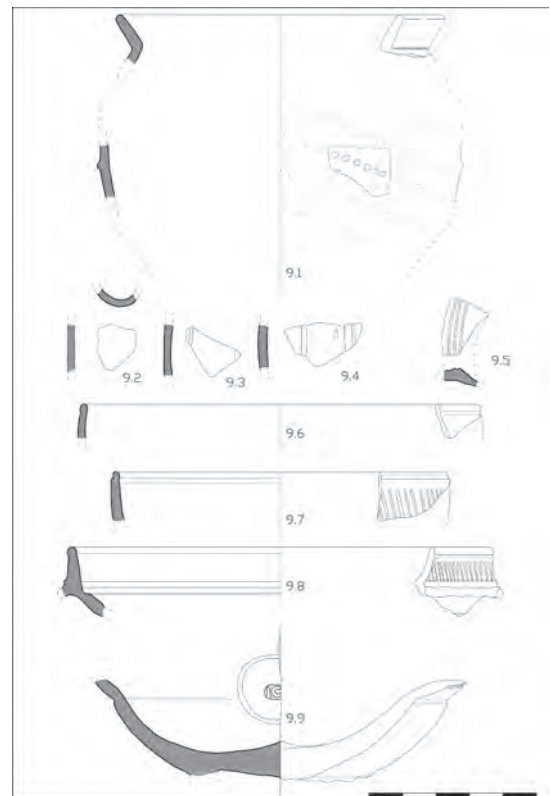


FIGURA 9. Cerámicas de V206.



Índice de imágenes

FIGURA 10. Cerámicas de V206.

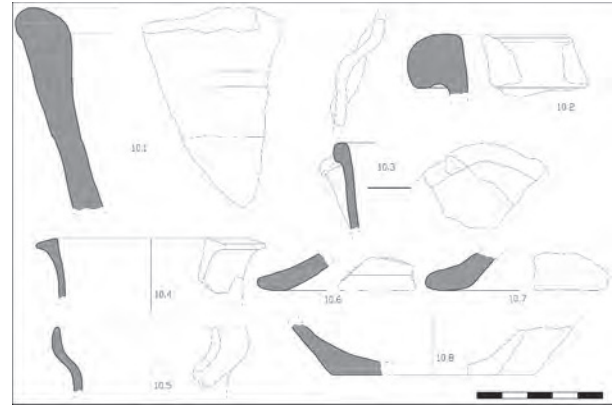


FIGURA 11. Cerámicas de V206.

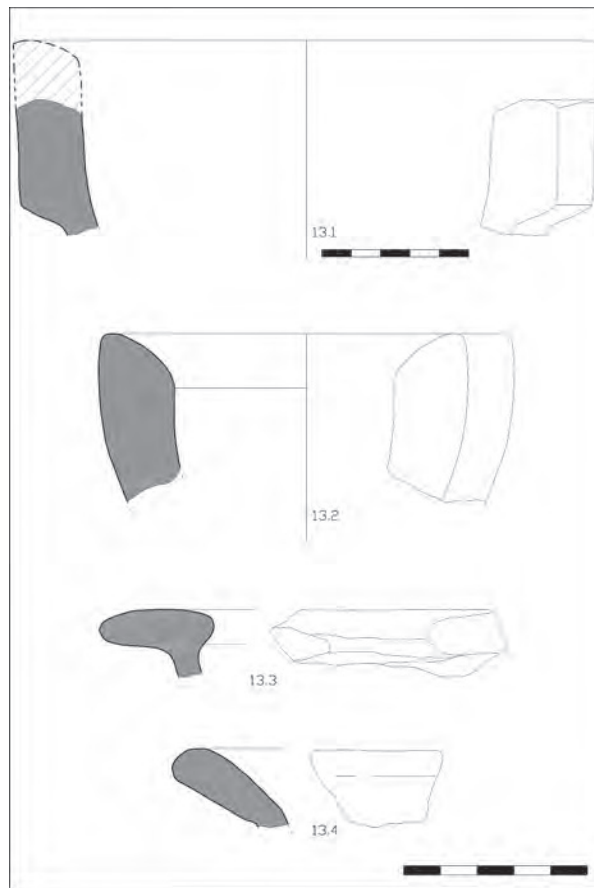


FIGURA 12. Cerámicas BRTH de V201 y V206.



Índice de imágenes

FIGURA 13. Cerámicas de C4 y M4.



Índice de imágenes

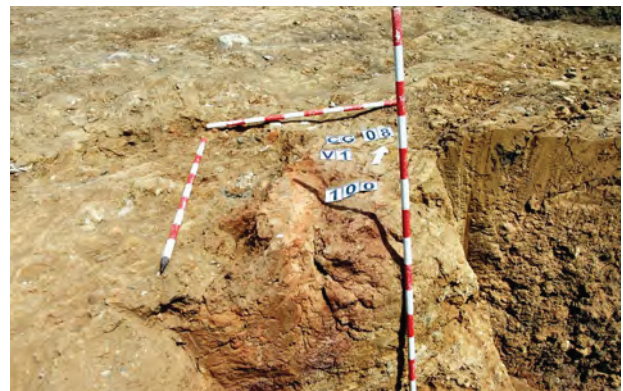
LÁMINA 1. Panorámica general desde el oeste del conjunto excavado, con indicación de zanjas.



LÁMINA 2. Panorámica general desde el oeste de la excavación de la figlina.



LÁMINA 3. Horno V1.



Índice de imágenes

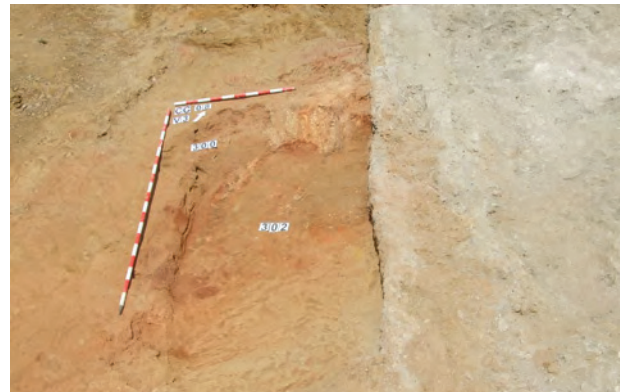
LÁMINA 4. Horno V2.



LÁMINA 5. Cerámicas BRTH de la unidad estratigráfica V206.



LÁMINA 6. Horno V3.



Índice de imágenes

LÁMINA 7. Vista general de la zanja B y su entorno inmediato, con indicación de la posición del vertedero de alfar en su perfil norte.



LÁMINA 8. Estratigrafía de la zanja B, detalle: 1. Arenas amarillas de la terraza superior holocena; 2. Vertedero de alfar; 3. Arenas masivas verdoso-negruczas de la terraza inferior holocena; 4. Relleno contemporáneo.

